

附錄 D 等效節點外力推導

令 u_{IJ} 為元素在均佈載重作用面的位移，因在 $I, J=1, 2$ 及 $3, 4$ 的斷面上元素的無因次座標 ξ 分別為 -1 和 1 ，故由(2.20)式及(B.3)式可知當 $\xi = \pm 1$ 時，元素的位移場可表示成

$$u_{IJ}(y, z) = u_A(y) + zu_B(y) \quad (\text{D.1})(2.18)$$

因本文中除集中載重與位移負載外，僅考慮均佈載重，且 y 軸為元素斷面之對稱軸，所以對應於位移 $zu_B(y)$ 的虛功為 0 ，可以不考慮，故

將其從(D.1)式去掉，利用(B.4)式可將斷面的位移改寫成

$$u_{IJ}(y) = \mathbf{N}_{IJ}^t \mathbf{q}_{IJ} \quad (\text{D.2})$$

$$\mathbf{N}_{IJ} = \{N_1, N_2, N_3, N_4\} \quad (\text{D.3})$$

$$\mathbf{q}_{IJ} = \{u_I, u_{,yI}, u_J, u_{,yJ}\} \quad (\text{D.4})(2.68)$$

$$\begin{aligned} N_1 &= \frac{1}{4}(1-\eta)^2(2+\eta) \quad , \quad N_2 = \frac{L_{IJ}}{8}(1-\eta^2)(1-\eta) \\ N_3 &= \frac{1}{4}(1+\eta)^2(2-\eta) \quad , \quad N_4 = \frac{L_{IJ}}{8}(-1+\eta^2)(1+\eta) \end{aligned} \quad (\text{D.5})$$

其中 $\eta = -1 + \frac{2y}{L_{IJ}}$, $(-1 \leq \eta \leq 1)$ ， L_{IJ} 為節點 I, J 間的距離， \mathbf{N}_{IJ} 為形狀函

數向量， \mathbf{q}_{IJ} 為節點位移向量。

由虛功原理可得：

$$\int_A p \delta u_{IJ} dA = \delta \mathbf{q}_{IJ}^t \mathbf{F}_{IJ} \quad (\text{D.6})(2.67)$$

$$\mathbf{F}_{IJ} = \{F_I, M_I, F_J, M_J\} \quad (\text{D.7})(2.69)$$

其中 p 為均佈載重， A 為載重作用面的面積， δu_{IJ} 為(D.2)式中 u_{IJ} 的變分， $\delta \mathbf{q}_{IJ}$ 為(D.4)的變分， \mathbf{F}_{IJ} 為對應於 $\delta \mathbf{q}_{IJ}$ 的等效節點外力向量，將 $dA = t dy$ (D.2)、(D.4)帶入(D.6)式可得

$$\mathbf{F}_{IJ} = pt \int_0^{L_{IJ}} \mathbf{N}_{IJ} dy \quad (\text{D.8})$$

其中 t 為薄壁梁的厚度。

將(D.5)式帶入(D.8)式對 y 積分可得

$$\mathbf{F}_{IJ} = \{F_I \quad M_I \quad F_J \quad M_J\} = pt \left\{ \frac{L_{IJ}}{2} \quad \frac{L_{IJ}^2}{12} \quad \frac{L_{IJ}}{2} \quad -\frac{L_{IJ}^2}{12} \right\} \quad (\text{D.9})(2.70)$$

若將變斷面梁的一層離散成 6 個元素，則在均佈載重作用的斷面上有如圖 D-1 所示的 7 個節點，將(D.9)式中每個元素的節點力轉換到總體座標 X_i^G 後疊加可求得斷面在均佈載重下之等效節點力 \mathbf{F}_S^6 如下：

$$\mathbf{F}_S^6 = \begin{Bmatrix} \mathbf{F}_1^t \\ \mathbf{F}_2^t \\ \mathbf{F}_3^t \\ \mathbf{F}_4^t \\ \mathbf{F}_5^t \\ \mathbf{F}_6^t \\ \mathbf{F}_7^t \end{Bmatrix} = pt \begin{Bmatrix} \frac{w}{4} & \frac{w^2}{48} & 0 \\ \frac{w}{2} + \frac{d}{4} & 0 & -\frac{d^2}{48} \\ \frac{w}{4} & -\frac{w^2}{48} & 0 \\ \frac{w}{4} & \frac{w^2}{48} & 0 \\ \frac{w}{4} & \frac{w^2}{48} & 0 \\ \frac{w}{2} + \frac{d}{4} & 0 & -\frac{d^2}{48} \\ \frac{w}{4} & -\frac{w^2}{48} & 0 \\ \frac{d}{2} & 0 & 0 \end{Bmatrix} \quad (\text{D.10})$$

$$\mathbf{F}_i = \{F^i \quad M_3^i \quad M_2^i\} \quad (\text{D.11})$$

其中 $i(i=1\sim 7)$ 為斷面節點編號，節點 7 位於梁腹的中點； w 為兩側翼板寬度， d 為梁腹板寬度， t 為板厚。 F^i 為節點 i 上 X_1^G 方向的力， M_2^i 、 M_3^i 為 X_2^G 與 X_3^G 方向的彎矩。

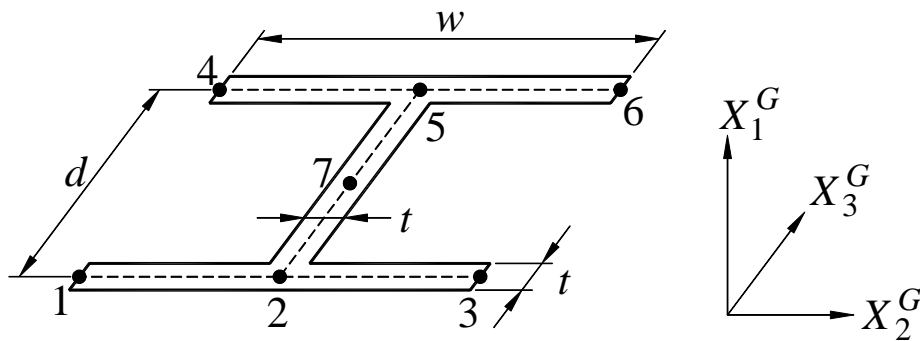


圖 D-1

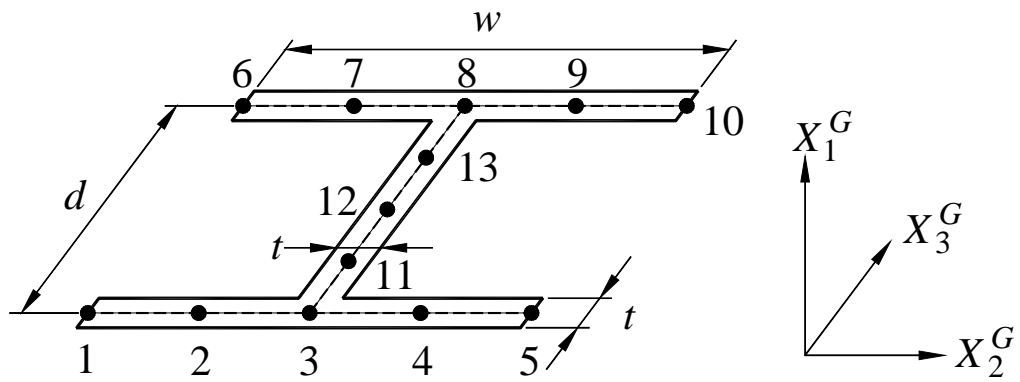


圖 D-2

若將變斷面梁的一層離散成 12 個元素，則在均佈載重作用的斷面上有如圖 D-2 所示的 13 個節點，其中節點 1~5 與 6~10 等分兩側翼板寬度 w ；節點 3, 11, 12, 13, 8 等分梁腹板寬度 d ，則斷面在均佈載重下之等效節點力 \mathbf{F}_S^{12} 可表示如下：



$$\mathbf{F}_S^{12} = \left\{ \begin{array}{c} \mathbf{F}_1^t \\ \mathbf{F}_2^t \\ \mathbf{F}_3^t \\ \mathbf{F}_4^t \\ \mathbf{F}_5^t \\ \mathbf{F}_6^t \\ \mathbf{F}_7^t \\ \mathbf{F}_8^t \\ \mathbf{F}_9^t \\ \mathbf{F}_{10}^t \\ \mathbf{F}_{11}^t \\ \mathbf{F}_{12}^t \\ \mathbf{F}_{13}^t \end{array} \right\} = pt \left\{ \begin{array}{ccc} \frac{w}{8} & \frac{w^2}{192} & 0 \\ \frac{w}{4} & 0 & 0 \\ \frac{w}{4} + \frac{d}{8} & 0 & -\frac{d^2}{192} \\ \frac{w}{4} & 0 & 0 \\ \frac{w}{8} & -\frac{w^2}{192} & 0 \\ \frac{w}{8} & \frac{w^2}{192} & 0 \\ \frac{w}{4} & 0 & 0 \\ \frac{w}{4} + \frac{d}{8} & 0 & \frac{d^2}{192} \\ \frac{w}{4} & 0 & 0 \\ \frac{w}{8} & -\frac{w^2}{192} & 0 \\ \frac{d}{4} & 0 & 0 \\ \frac{d}{4} & 0 & 0 \\ \frac{d}{4} & 0 & 0 \\ \frac{d}{4} & 0 & 0 \end{array} \right\}$$

(D.12)